

بررسی اثر سرعت پیشروی بر ریزساختار و خواص مکانیکی اتصال AA2024 و AA6061 به روش جوشکاری اصطکاکی اغتشاشی

ایمان خدایی دلویی¹، حامد ثابت^{1*}، وحید ابویی مهریزی²

۱- گروه مهندسی مواد و متالورژی، واحد کرج، دانشگاه آزاد اسلامی، کرج، ایران
۲- مرکز تحقیقات مهندسی مواد پیشرفته، واحد کرج، دانشگاه آزاد اسلامی، کرج، ایران.
(دریافت مقاله: ۱۳۹۷/۰۳/۲۲؛ پذیرش مقاله: ۱۳۹۷/۰۶/۰۳)

چکیده

تحقیق حاضر به بررسی ریز ساختار و ارزیابی خواص مکانیکی جوشکاری اصطکاکی اغتشاشی در اتصال لب به لب AA2024 و AA6061 می‌پردازد. از یک ابزار استوانه ای رزوه دار از جنس فولاد گرم کار H13 جهت اتصال ورق‌های ۵ میلی متری در سرعت های چرخشی ۸۰۰، ۱۰۰۰ و ۱۲۰۰ دور در دقیقه و سرعت‌های پیشروی ۳۰، ۵۰، ۷۰، ۹۰ و ۱۱۰ میلی متر بر دقیقه استفاده شد. به منظور انجام بررسی‌های لازم، از مشاهدات متالورژیکی توسط میکروسکوپ نوری، میکروسکوپ الکترونی روبشی مجهز به سیستم آنالیز شیمیایی عناصر و همچنین انجام آزمون‌های مکانیکی استحکام کششی و ریزسختی سنجی نیز استفاده شد. نتایج آزمون‌ها نشان داد که تفاوت میان دو آلیاژ باعث نوسان سختی در ناحیه اغتشاش و یک کاهش بزرگ هنگام عبور از منطقه متشکل از دو آلیاژ به سمت آلیاژ ۶۰۶۱ می‌شود. با افزایش سرعت پیشروی از ۳۰ تا ۱۱۰ میلیمتر بر دقیقه در سرعت های چرخشی ثابت ۸۰۰، ۱۰۰۰ و ۱۲۰۰ دور بر دقیقه به علت کاهش حرارت ورودی، اندازه دانه‌ها کاهش پیدا کرد و سختی و استحکام افزایش یافت. همچنین بیشترین میزان استحکام کششی و سختی با مقادیر به ترتیب ۲۲۱/۶ مگاپاسکال و ۱۱۱/۰۵ ویکرز مربوط به نمونه جوشکاری شده تحت سرعت چرخشی ۱۰۰۰ دور بر دقیقه و سرعت پیشروی ۱۱۰ میلی متر بر دقیقه بود.

کلمات کلیدی: جوشکاری اصطکاکی اغتشاشی، آلیاژ آلومینیوم ۲۰۲۴، آلیاژ آلومینیوم ۶۰۶۱، سرعت پیشروی، سرعت چرخشی.

The effect of transvers speeds on microstructure and mechanical properties of the AA2024 to AA6061 joint welded by FSW

I.Khodai Delouei¹, H.Sabet^{1*}, V.Abouei Mehrizi²

1-Department of Materials Engineering, Karaj Branch, Islamic Azad University, Karaj, Iran

2- Advanced Materials Engineering Research Center, KarajBranch, IslamicAzad University, Karaj, Iran.

(Received 12 June 2018 ; Accepted 25 August 2018)

Abstract

Friction Stir Welding is one of the solid-state processes and today it has been used to join different types of materials. Friction stir welding does not have many problems and limitations due to melting and solidification of weld metal and by controlling its variables, the microstructure and desired mechanical properties can be achieved at the joint. Recently, in most industrial areas, due to its lightness and energy saving, much attention has been paid to the joining of aluminum alloys. The present study investigates the microstructure and evaluation of mechanical properties of friction stir welding in AA2024 and AA6061 butt welds. A cylindrical threaded tool was used to join 5 mm thick plates at rotational speeds of 800, 1000 and 1200 rpm and traverse speeds of 30, 50, 70, 90 and 110 mm / min. In order to perform the necessary investigations, metallurgical observations were performed by optical microscope and scanning electron microscope equipped with a chemical analysis system of the elements, as well as mechanical tests of tensile strength and micro hardness. The results showed that the difference between the two alloys causes hardness variations in the nugget zone and a large hardness drop at the transition between the zone composed of both alloys and the 6061 zone. By increasing the traverse speed from 30 to 110 mm / min at constant rotational speeds of 800, 1000 and 1200 rpm, due to reduced input heat, the grain size decreases and the hardness and strength increase. Also, the highest tensile strengths and hardness were 221.6 Mpa and 111.05 Vickers, respectively, for a sample welded at a rotational speed of 1000 rpm and a traverse speed of 110 mm / min.

Keywords: Friction stir welding, Aluminum alloy 2024, Aluminum alloy 6061, Traverse speed, Rotational speed.

1- مقدمه

انعطاف پذیرتر است در تولید قطعات خاص در صنعت هوافضا و خودروسازی رو به افزایش است. جوشکاری این دو آلیاژ یک جایگزین مناسب برای روش های اتصال کنونی جهت کاهش وزن در صنایع هوافضا است. آلیاژهای آلومینیوم سری 2XXX توسط روش های معمول جوشکاری ذوبی به سختی قابل جوشکاری هستند. دلیل این امر ایجاد عیوبی مانند ترک گرم، تخلخل، اعوجاج است که باعث کاهش خواص مکانیکی اتصال می شود. بنابراین فرآیند جوشکاری حالت جامد بهترین روش جایگزین برای جلوگیری از این مشکلات است [1].

جوشکاری اصطکاکی اغتشاشی (FSW)، یک فرآیند جوشکاری حالت جامد است که بوسیله انجمن جوشکاری

آلیاژهای آلومینیوم به دلیل داشتن خواصی مانند نسبت استحکام به وزن بالا، مقاومت به خوردگی بالا و شکل پذیری عالی به طور وسیعی در صنایع مختلف از جمله هوا فضا، حمل و نقل و شیمیایی مورد استفاده قرار می گیرند. آلیاژ آلومینیوم ۲۰۲۴ (آلیاژ آلومینیوم و مس) از استحکام و مقاومت به خستگی بالایی برخوردار است و از جمله آلیاژهای قابل عملیات حرارتی محسوب می شود. آلیاژ آلومینیوم ۶۰۶۱ (آلیاژ آلومینیوم، منیزیم و سیلیسیم) نیز دارای خواص مکانیکی، خوردگی و جوش پذیری مناسبی در نظر گرفته می شود. این آلیاژ هم از جمله آلیاژهای قابل عملیات حرارتی می باشد. اتصال آلیاژهای غیر مشابه مانند اتصال آلومینیوم سری 2XXX با استحکام بالا به آلیاژ آلومینیوم سری 6XXX که ارزان تر و

1 -Friction stir welding

جوش اصطکاکی اغتشاشی آلیاژ ۲۰۲۴ به آلیاژ ۶۰۸۲ مورد بررسی قرار دادند. جوشکاری با سرعت چرخشی ثابت ۱۶۰۰ دور بر دقیقه و سرعت های پیشروی ۸۰ تا ۱۱۵ میلیمتر بر دقیقه انجام گردید. در این تحقیق آنها آلیاژ ۲۰۲۴ را که دارای استحکام بالاتری بود را در سمت پیشرونده و آلیاژ ۶۰۸۲ را در سمت پسرونده قرار دادند. استفاده از ابزار رزوه دار موجب لایه ای شدن و هم چنین حرکت مواد به سمت مرکز جوش شد، بطوریکه تغییر سرعت پیشروی سبب تغییر شکل این ساختار در مرکز جوش شد. طی آزمون سختی انجام شده مشخص گردید که بیشترین مقدار سختی زمانی حاصل می شود که آلیاژ ۲۰۲۴ در سمت پیشرونده قرار داده شود. از طرفی زمانیکه آلیاژ ۶۰۸۲ در سمت پیشرونده قرار داده شد، مقدار سختی در مرکز جوش دارای یکنواختی بیشتری می باشد که این اتفاق نشان از مخلوط شدن مناسب مواد بود. Attallah و همکارانش [۵]، جوشکاری اصطکاکی اغتشاشی آلومینیوم ۲۰۹۵ را انجام دادند. آن‌ها گزارش نمودند که با افزایش سرعت چرخشی و کاهش سرعت پیشروی، حرارت ورودی به ناحیه جوش افزایش یافته و در نتیجه موجب افزایش اندازه دانه در منطقه اغتشاش می شود. افزایش نسبت سرعت چرخشی به سرعت پیشروی موجب رشد دانه در منطقه اغتشاش شد. بطوریکه اندازه دانه ها از ۲ میکرون تا ۶ میکرون متغیر بود. همچنین در نتایج آزمون کشش نشان داد که با افزایش سرعت چرخشی ابزار، بدلیل افزایش درحرارت ورودی و در نتیجه افزایش اندازه دانه، استحکام کششی کاهش می یابد. طی بررسی های انجام شده توسط Li و همکارانش [۶] بر روی جوشکاری اصطکاکی اغتشاشی آلیاژ آلومینیوم ۲۰۲۴ به آلیاژ ۶۰۶۱ نشان داده شد که این روش جوشکاری موجب تبلور مجدد دانه ها گردید که اندازه این دانه ها با افزایش دما افزایش می یابند. همچنین مشخص گردید که تفاوت آشکاری بین مناطق لایه ای آلیاژ آلومینیوم ۲۰۲۴ و آلیاژ ۶۰۶۱ وجود ندارد. ایشان بیان نمودند که افزایش سرعت چرخشی ابزار، ساختاری با اندازه دانه های بزرگتر بوجود می آورد. پروفیل سختی دارای نوساناتی در ناحیه جوش بود که این مقادیر

انگلستان^۱ (TWI) در سال ۱۹۹۱ ارائه شد و به دلیل دمای کمتر فرایند نسبت به جوشکاری های ذوبی رایج، یک روش بالقوه است [۲]. این روش برای آلیاژهای آلومینیوم و فلزاتی که جوشکاری ذوبی آن ها مشکل و یا غیر ممکن است، به طور فزاینده ای استفاده می شود. در اتصال فلزات به روش جوشکاری اصطکاکی اغتشاشی پارامترهای زیادی از جمله سرعت چرخشی، سرعت خطی، هندسه پین، ابعاد پین و شانه ابزار و... بر ریزساختار و خواص مکانیکی ناحیه جوش تأثیرگذار می باشد. برای دست یابی به خواص مکانیکی مناسب، کلیه پارامترها باید در مقدار بهینه خود مورد استفاده قرار گیرند، زیرا مقدار نامناسب پارامترها باعث بروز مشکلاتی نظیر تشکیل عیوب، انحلال ذرات رسوب، رشد دانه و در نهایت کاهش خواص مکانیکی اتصال خواهد شد [۲].

اخیرا تحقیقات متعددی جهت ایجاد اتصال بهینه میان آلیاژهای آلومینیوم غیرمشابه سری 2XXX و 6XXX صورت گرفته است. برای مثال Amancio و همکاران [۳]، ریزساختار و خواص مکانیکی جوش اصطکاکی اغتشاشی آلیاژهای آلومینیوم ۲۰۲۴ به ۶۰۵۶ را مورد مطالعه قرار دادند. ناحیه اغتشاش در این تحقیق شامل لایه های متناوبی از دو آلیاژ ۲۰۲۴ و ۶۰۵۶ بود. سختی ناحیه متأثر از حرارت بدلیل تسریع در امر پیرسختی و فرایند بازیابی بر اثر چرخه حرارتی موجود در جوش کاهش یافت. همچنین آنها بیان نمودند که کاهش سختی در ناحیه متأثر از حرارت و کار مکانیکی بر اثر کاهش چگالی نابجایی ها بوده است. با وارد شدن به ناحیه اغتشاش میزان سختی بدلیل افزایش درجه کارسختی افزایش یافت که این افزایش همراه با رسوب گذاری مجدد ذرات ریز بود. این محققین نیز نشان دادند که بر اثر تبلور مجدد در ناحیه اغتشاش، اندازه دانه ها کاهش یافت و همچنین اختلاط غیرشیمیایی فلزات پایه موجب تشکیل لایه های مختلف در ناحیه اغتشاش گردید. بطوریکه بالاترین مقدار سختی متعلق به لایه های مربوط به آلیاژ ۲۰۲۴ در ناحیه اغتشاش بود. Cavalieri و همکارانش [۴]، تأثیر پارامترهای فرایند را بر روی

جدول ۱- ترکیب شیمیایی AA2024 و AA6061.

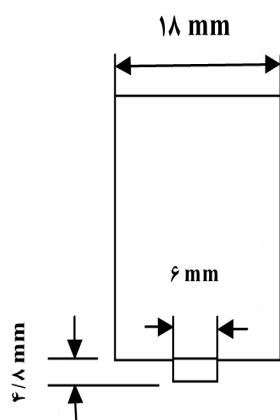
| Ti | Cr | Fe | Zn | Mn | Si | Mg | Cu | Al | درصد وزنی |
|-------|------|------|-------|------|------|------|------|------|-----------|
| ۰/۰۴۴ | ۰/۰۲ | ۰/۴۱ | ۰/۱۶ | ۰/۴۸ | ۰/۲۷ | ۱/۸۵ | ۴/۹۰ | پایه | AA2024 |
| ۰/۰۲۵ | ۰/۱۷ | ۰/۵۲ | ۰/۰۰۷ | ۰/۰۴ | ۰/۶۱ | ۱/۱۹ | ۰/۳۰ | پایه | AA6061 |

در حال چرخش با سطح قطعه آغاز می‌شد تا ماده در زیر شانه به اندازه کافی گرم شده باشد. فرایند در دمای محیط، بدون پیشگرم انجام شد. شکل (۱) تصویر شماتیک ابزار ساخته شده را نشان می‌دهد. متغیرهای جوشکاری در این تحقیق عبارتند از:

(الف) سرعت پیشروی

(ب) سرعت چرخشی

جوشکاری اصطکاکی اغتشاشی در سرعت چرخشی ۸۰۰ و ۱۰۰۰ و ۱۲۰۰ دور در دقیقه و سرعت های پیشروی ۳۰، ۵۰، ۷۰، ۹۰ و ۱۱۰ میلی متر بر دقیقه انجام شده است. متغیرهای جوشکاری در جدول (۲) ارائه شده است.



شکل ۱- تصویر شماتیک ابزار ساخته شده برای جوشکاری اصطکاکی اغتشاشی.

آزمون متالوگرافی بر روی ریز ساختار جوش و مناطق تحت تأثیر جوشکاری اصطکاکی اغتشاشی و منطقه فصل مشترک اتصال در ناحیه اغتشاش در نزدیکی مرز اتصال AA2024-AA6061 از نظر اندازه دانه و قفل‌های مکانیکی انجام گردید. جهت آماده سازی نمونه‌های متالوگرافی نمونه‌ها پس از برش، مانت، سنباده و پولیش، توسط محلول ارایه شده در جدول (۳) حکاکی شدند. سپس با استفاده از میکروسکوپ نوری OLYMPUS مدل BX-200 ساخت کشور ژاپن، ساختار

سختی در سمت آلیاژ ۶۰۶۱ در نزدیکی منطقه جوش اصطکاکی اغتشاشی به ۴۰ درصد سختی فلز پایه جوشکاری نشده آلیاژ ۶۰۶۱ رسید. هدف از تحقیق حاضر اتصال آلومینیوم ۲۰۲۴ به آلومینیوم ۶۰۶۱ به روش جوشکاری اصطکاکی اغتشاشی و ایجاد اتصالی بدون عیب و بررسی ریزساختار و خواص مکانیکی اتصال است.

2- روش تحقیق

برای جوشکاری اصطکاکی اغتشاشی از ورق‌های آلومینیوم AA2024- T4 و AA6061- T6 استفاده گردید. به منظور تعیین ترکیب شیمیایی از روش طیف سنجی نشر نوری^۱ طبق استاندارد [V] ASTM E1251-11 استفاده شد. ترکیب شیمیایی هر کدام از آنها در جدول (۱) ارائه شده است.

ورق‌های AA6061 و AA2024 به ابعاد ۳۰۰×۵۰×۵ میلی‌متر برای جوشکاری برش زده شدند. سطوح کلیه ورق‌ها قبل از جوشکاری به منظور از بین بردن اکسیدهای سطحی و چربی‌ها توسط سنباده و استون تمیز شدند. جوشکاری با قرارگیری ورق AA2024 در سمت پیشروی صورت گرفت. جهت جوشکاری از دستگاه فرز سنگین با توان هفت کیلو وات استفاده شد. برای ساخت ابزار جوشکاری از فولاد گرم کار H13 استفاده شد که قطر و ارتفاع شانه به ترتیب ۱۸ و ۸۰ میلی متر و قطر و ارتفاع پین به ترتیب ۶ و ۴/۸ میلی متر بود. برای ایجاد سیلان بهتر مواد، از پین استوانه ای رزوه دار با طول گام های ۱ میلی متر استفاده گردید. همچنین کف شانه ابزار به میزان ۶ درجه نسبت به خط افق تقعر داده شد. لازم به ذکر است که در حین جوشکاری همواره ابزار نسبت به خط عمود بر راستای جوش زاویه ۳ درجه را داشت و مقدار عمق نفوذ ابزار ۴/۹ میلی متر بود، همچنین پیشروی ابزار با وقفه ۱۵ ثانیه بعد از تماس شانه

1- Optical emission spectroscopy

جدول ۲- متغیرهای جوشکاری در نمونه‌های جوشکاری شده به روش اصطکاکی اغتشاشی.

| نمونه | سرعت چرخشی ω (rpm) | سرعت پیشروی V (mm/min) | نمونه | سرعت چرخشی ω (rpm) | سرعت پیشروی V (mm/min) |
|-------|---------------------------|--------------------------|-------|---------------------------|--------------------------|
| ۱ | ۸۰۰ | ۳۰ | ۹ | ۱۲۰۰ | ۷۰ |
| ۲ | ۱۰۰۰ | ۳۰ | ۱۰ | ۸۰۰ | ۹۰ |
| ۳ | ۱۲۰۰ | ۳۰ | ۱۱ | ۱۰۰۰ | ۹۰ |
| ۴ | ۸۰۰ | ۵۰ | ۱۲ | ۱۲۰۰ | ۹۰ |
| ۵ | ۱۰۰۰ | ۵۰ | ۱۳ | ۸۰۰ | ۱۱۰ |
| ۶ | ۱۲۰۰ | ۵۰ | ۱۴ | ۱۰۰۰ | ۱۱۰ |
| ۷ | ۸۰۰ | ۷۰ | ۱۵ | ۱۲۰۰ | ۱۱۰ |
| ۸ | ۱۰۰۰ | ۷۰ | | | |

جدول ۳- ترکیب شیمیایی محلول حکاکی.

| آلیاژ | زمان (ثانیه) | محلول حکاکی |
|--------|--------------|--|
| AA2024 | ۵ | ۱۵۰ میلی لیتر آب، ۳ میلی لیتر اسید نیتریک، ۶ میلی لیتر اسید هیدروکلریک و ۶ میلی لیتر اسید هیدروفلوریک. |
| AA6061 | ۶۰ | |

سختی اولیه و سختی ایجاد شده در نمونه‌ها بر اثر فرایند جوشکاری با یکدیگر مقایسه شود. برای تهیه نمونه‌های آزمون کشش عرضی، ورق‌های جوش داده‌شده بر اساس استاندارد [۱۰] ASTM-E8M برش داده شد. نمونه‌ها به گونه‌ای از خط جوش برش داده شد که طول نمونه کشش عمود بر خط جوش باشد و جوش در مرکز نمونه قرار بگیرد. تعداد کل جوش‌ها جهت انجام آزمون کشش ۱۵ عدد بود که از هر جوش یک نمونه جهت انجام آزمون کشش عرضی آزمون استحکام کششی توسط دستگاه INTRON-5500R با نرخ حرکت فک یک میلی متر بر دقیقه انجام شد.







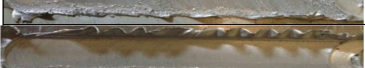



3- نتایج و بحث

اتصال AA2024 به AA6061 با بکارگیری سرعت‌های چرخشی و پیشروی مختلف بصورت کاملاً موفق انجام شد. کلیه جوش‌ها از نظر ظاهری مورد بررسی قرار گرفت. شرایط مختلف جوشکاری به همراه ظاهر کلیه جوش‌ها در جدول (۴) نمایش داده شده است. همه جوش‌ها از نظر ظاهری مناسب و میزان پلیسه ایجاد شده در حد مورد قبولی بود. در جوش‌ها عیوب ظاهری مانند پارگی و حفره در سطح جوش نمی‌باشند.

دانه بندی و لایه‌ای نواحی مختلف جوش و ناحیه فصل مشترک اتصال در ناحیه اغتشاشی در نزدیکی مرز اتصال AA2024-AA6061 مورد بررسی قرار داده شد. همچنین جهت محاسبه اندازه دانه‌ها، اندازه رسوبات و درصد حجمی رسوبات از نرم افزار Clemex استفاده شد. میکروسکوپ الکترونی روبشی مجهز به سیستم آنالیزگر عناصر شیمیایی^۱ (EDS) مدل VEGA2 ساخت شرکت TESCAN جمهوری چک، جهت مطالعات ناحیه جوش مورد استفاده قرار گرفت. برای تصویر برداری از ناحیه جوش از آشکار ساز الکترون ثانویه استفاده شد. نتایج آزمون سختی سنجی بر اساس استاندارد [۸] ASTM E384-16 به وسیله دستگاه ریزسختی سنجی (ویکرز) PEA، ساخت کشور استرالیا با باری معادل ۲۰۰ گرم به مدت ۱۰ ثانیه اندازه گیری شدند. اندازه گیری ریز سختی در طول ۲۱ میلی متر از سطوح مقطع جوش انجام شد به طوری که ریز سختی سنجی از یک سمت فلز پایه یک طرف آغاز و به سمت ناحیه گذار و نواحی جوش ادامه پیدا می‌کرد و به طرف مقابل می‌رسید. فاصله هر اثر سختی از اثر قبلی نیز، ۱ میلی متر بود. سختی فلزات خام نیز گرفته شد تا بتوان

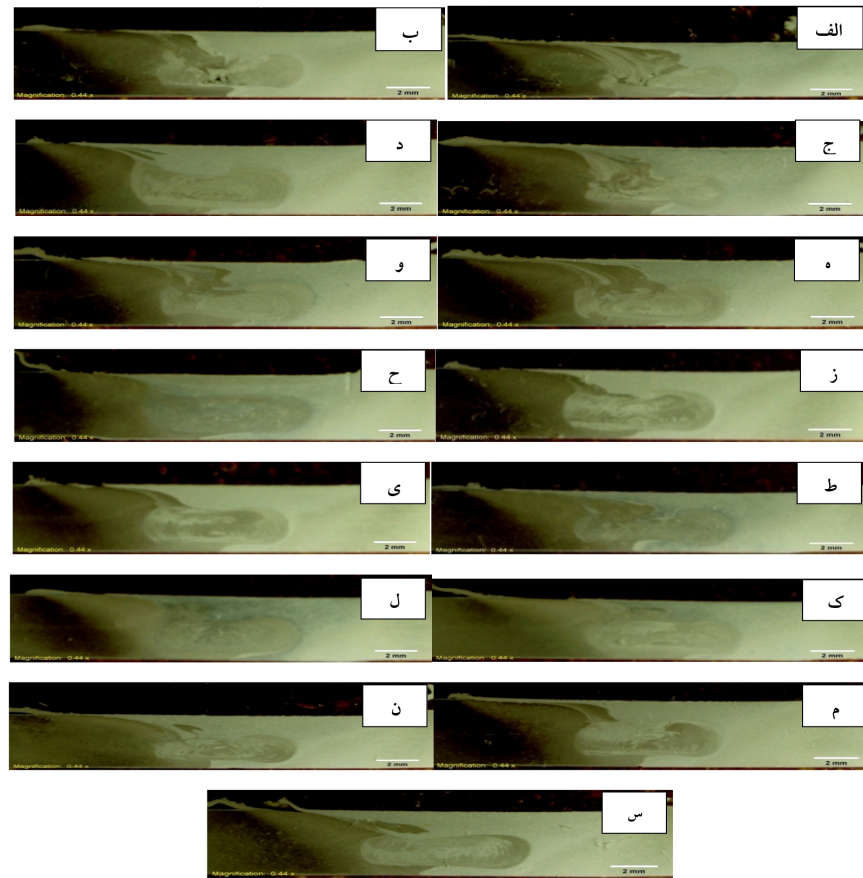
1- Electron dispersive spectrum

جدول ۴- شرایط ظاهری و عیوب نمونه های مختلف.

| نمونه | سرعت چرخشی ω (rpm) | سرعت پیشروی v (mm/min) | نوع عیب | شکل ظاهری جوش |
|-------|------------------------------|-----------------------------|------------|---|
| ۱ | ۸۰۰ | ۳۰ | حفره داخلی |  |
| ۲ | ۱۰۰۰ | ۳۰ | حفره داخلی |  |
| ۳ | ۱۲۰۰ | ۳۰ | بدون عیب |  |
| ۴ | ۸۰۰ | ۵۰ | بدون عیب |  |
| ۵ | ۱۰۰۰ | ۵۰ | بدون عیب |  |
| ۶ | ۱۲۰۰ | ۵۰ | بدون عیب |  |
| ۷ | ۸۰۰ | ۷۰ | بدون عیب |  |
| ۸ | ۱۰۰۰ | ۷۰ | بدون عیب |  |
| ۹ | ۱۲۰۰ | ۷۰ | بدون عیب |  |
| ۱۰ | ۸۰۰ | ۹۰ | بدون عیب |  |
| ۱۱ | ۱۰۰۰ | ۹۰ | بدون عیب |  |
| ۱۲ | ۱۲۰۰ | ۹۰ | بدون عیب |  |
| ۱۳ | ۸۰۰ | ۱۱۰ | بدون عیب |  |
| ۱۴ | ۱۰۰۰ | ۱۱۰ | بدون عیب |  |
| ۱۵ | ۱۲۰۰ | ۱۱۰ | بدون عیب |  |

شکل (۲) تصاویر ماکروسکوپی از مقاطع جوش‌ها را نشان می‌دهد. همان گونه که مشاهده می‌شود، سیلان مواد باعث مخلوط شدن دو ماده در ناحیه اغتشاشی جوش گردیده است. در تمامی جوش‌ها هر دو ورق AA6061 و AA2024 در ناحیه جوش دچار اختلاط گردیده اند که می‌توان آن را به مومسان شدن هر دو فلز AA6061 و AA2024 تحت فرایند جوشکاری اصطکاکی اغتشاشی نسبت داد. همانطور که در شکل (۲) دیده می‌شود درهم رفتگی و اختلاط دو ورق در نمونه‌های مختلف با یکدیگر تفاوت دارد که می‌توان دلیل آن را به تفاوت در مقدار حرارت ورودی در هر یک از نمونه‌ها دانست. در نمونه ۱۳ با وجود داشتن پایین‌ترین نسبت سرعت

چرخشی به سرعت پیشروی، اختلاط مناسبی در جوش رخ داده است. در نمونه‌های ۱ و ۲ بدلیل حرارت ورودی نامناسب، اتصال بطور کامل تشکیل نشده است. همانطور که در شکل (۲) مشاهده می‌شود، کشیدگی مواد به سمت بالا در سمت پیشرونده اتفاق افتاده است که می‌تواند دلیل آن هم راستایی کرنش‌های برشی حاصل از چرخش و پیشروی ابزار باشد. این حالت که موجب تقویت یکدیگر می‌گردد و سبب افزایش حرارت در سمت پیشرونده نسبت به پسرونده می‌شود [۲]. مشخص است که تقریباً در همه جوش‌ها در قسمت میانی جوش (قسمت در تماس با پین) اختلاط بهتری بین طرفین جوش صورت گرفته است.



شکل ۲- تصاویر ماکروسکوپی مقطع جوش نمونه های:

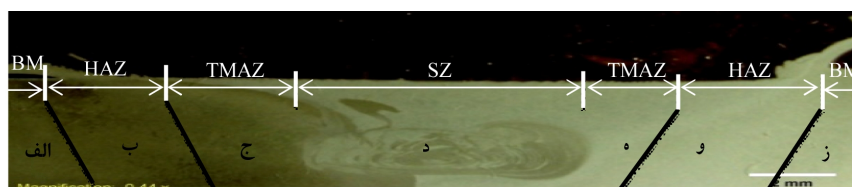
الف) ۱، ب) ۲، ج) ۳، د) ۴، ه) ۵، و) ۶، ز) ۷، ح) ۸، ط) ۹، ی) ۱۰، ک) ۱۱، ل) ۱۲، م) ۱۳، ن) ۱۴، س) ۱۵.

این ذرات بوسیله میکروسکوپ الکترونی در شکل‌های (۴) و (۵) نشان داده شده است. این فازها با توجه به درصد وزنی عناصر حاصل از آنالیز EDS، رسوباتی از نوع Cu_2FeAl_7 برای AA2024 و $(\text{Fe,Cr})_3\text{SiAl}_{12}$ برای AA6061 بودند. در شکل (۶) تصویر میکروسکوپ نوری و میکروسکوپ الکترونی روبشی ناحیه اغتشاش نمونه ۸ نشان داده شده است. این تصاویر نشان دهنده مناطق لایه ای ناحیه اغتشاش است. همچنین آنالیز EDS نقاط A، B و C در جدول (۵) ارائه شده است. با توجه به درصد وزنی عناصر حاصل از آنالیز، نقاط B و C به ترتیب مربوط به آلومینیوم ۲۰۲۴ و ۶۰۶۱ هستند. همچنین نقطه A که با رنگ سفید در تصویر مشخص است با توجه به آنالیز بدست آمده رسوبی از نوع Cu_2FeAl_7 است. اندازه دانه‌ها در منطقه اغتشاش از ۲ تا ۱۰ میکرون متغیر است. متوسط اندازه دانه‌ها در منطقه اغتشاش، نوع فاز، متوسط اندازه فاز و درصد حجمی فاز برای تمامی نمونه‌ها

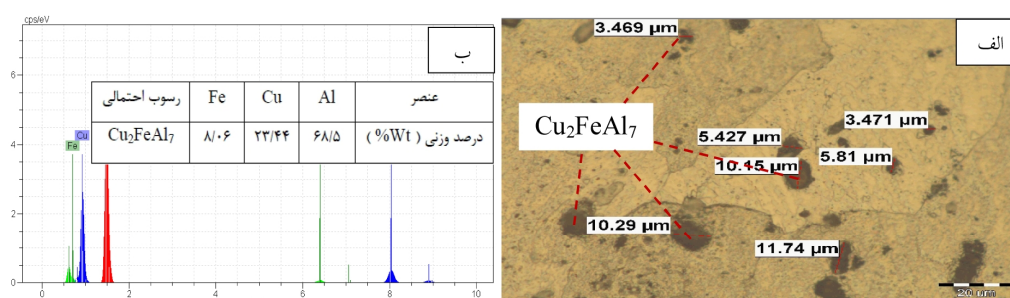
تصویر ماکروسکوپی ناحیه جوش نمونه ۱۴ در شکل (۳) نمایش داده شده است. این اتصال دارای هفت منطقه مختلف شامل فلز پایه AA2024، ناحیه متأثر از حرارت در A2024 در سمت پیشرونده اتصال، ناحیه متأثر از حرارت و کار مکانیکی در AA2024 در سمت پیشرونده اتصال، ناحیه اغتشاش، ناحیه متأثر از حرارت و کار مکانیکی در AA6061 در سمت پسرونده اتصال، ناحیه متأثر از حرارت در AA6061 در سمت پسرونده اتصال و فلز پایه است AA6061 است. در شکل (۴) و شکل (۵) ریزساختار اولیه ورق‌های AA2024 و AA6061 حاصل از میکروسکوپ نوری نشان داده شده است. اندازه دانه‌های فلز پایه AA2024 بین ۳۰ تا ۵۰ میکرومتر و برای فلز پایه AA6061 بین ۳۹ تا ۴۳ میکرومتر مشاهده شد. میانگین اندازه ترکیبات بین فلزی نامحلول موجود در فلزات پایه AA2024 و AA6061 به ترتیب ۷/۱ و ۴/۲ میکرومتر با درصد حجمی ۲/۹ و ۲/۳ بود. همچنین نتایج آنالیز EDS

جدول ۵- آنالیز EDS نقاط A، B و C در شکل (۶-ب)

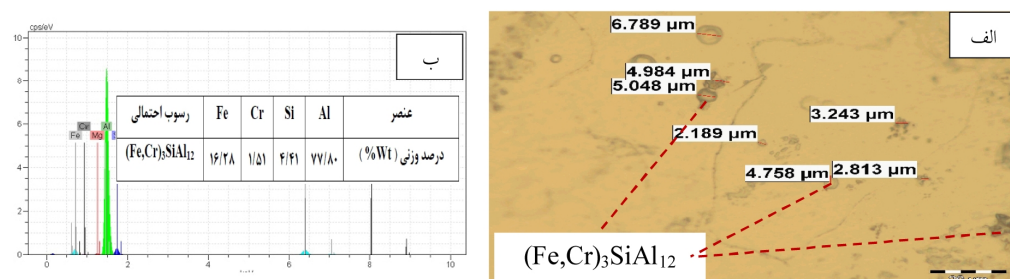
| عنصر | Al | Cu | Mn | Fe | Si | Mg | فاز احتمالی |
|-------------------|-------|-------|------|-------|------|------|----------------------------|
| درصد وزنی A (%Wt) | ۶۷/۱۲ | ۱۱/۹۳ | ۴/۸۴ | ۱۱/۹۵ | ۴/۱۵ | - | Cu_2FeAl_7 |
| درصد وزنی B (%Wt) | ۹۲/۷۱ | ۶/۱۸ | - | - | - | ۱/۱۱ | AA2024 |
| درصد وزنی C (%Wt) | ۹۹/۱۴ | ۰/۰۳ | - | - | - | ۰/۸۳ | AA6061 |



شکل ۳- تصویر میکروسکوپی از مقطع عرضی اتصال AA2024 به AA6061 در نمونه ۱۴.



شکل ۴- تصویر میکروسکوپ نوری و آنالیز EDS رسوبات فلز پایه آلومینیوم ۲۰۲۴ (الف: تصویر میکروسکوپ نوری، ب) آنالیز EDS رسوبات.



شکل ۵- تصویر میکروسکوپ نوری و آنالیز EDS رسوبات فلز پایه آلومینیوم ۶۰۶۱ (الف: تصویر میکروسکوپ نوری، ب) آنالیز EDS رسوبات.

در جدول (۶) ارائه شده است.

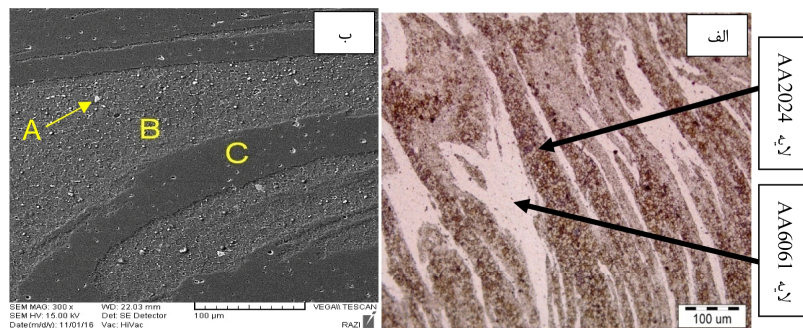
نوری کاهش اندازه دانه‌های تبلور مجدد یافته در منطقه اغتشاش را در اثر افزایش سرعت پیشروی نشان می‌دهد. ریزش دانه‌ها در منطقه اغتشاش ناشی از تبلور مجدد دینامیکی است. تغییر شکل بسیار زیاد همراه اعمال حرارت در منطقه اغتشاش موجب تشکیل ریزساختار تبلور مجدد یافته ریزدانه می‌شود [۱۲].

تصاویری با بزرگنمایی بالا از عیوب در ناحیه جوش در شکل (۹) نشان داده شده است. حفراتی در نمونه دیده می‌شوند

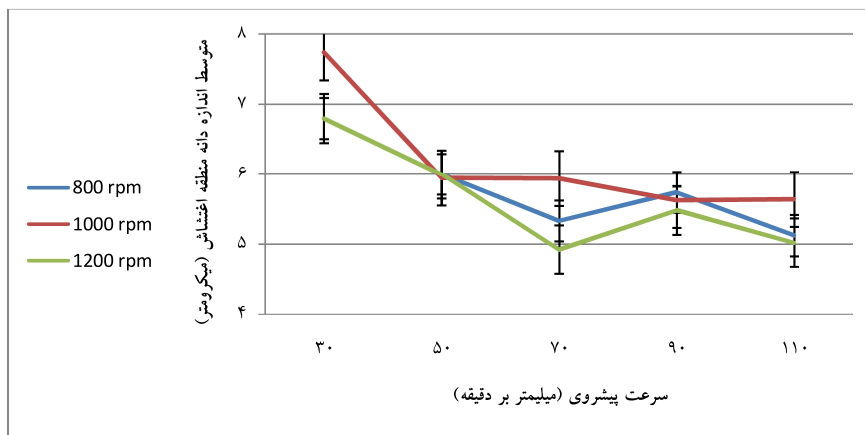
شکل (۷) رابطه اندازه دانه در منطقه اغتشاش را با سرعت پیشروی در سرعت‌های چرخشی ثابت ۸۰۰، ۱۰۰۰ و ۱۲۰۰ دور بر دقیقه نشان می‌دهد. همانطور که مشاهده می‌شود با افزایش سرعت پیشروی در سرعت چرخشی ثابت اندازه دانه‌ها کاهش می‌یابد. دلیل این امر این است که افزایش سرعت پیشروی باعث کاهش حرارت ورودی و کاهش زمان برای رشد دانه می‌شود [۱۱]. شکل (۸) تصویر میکروسکوپی

جدول ۶- مشخصات فازها و اندازه دانه نمونه‌ها.

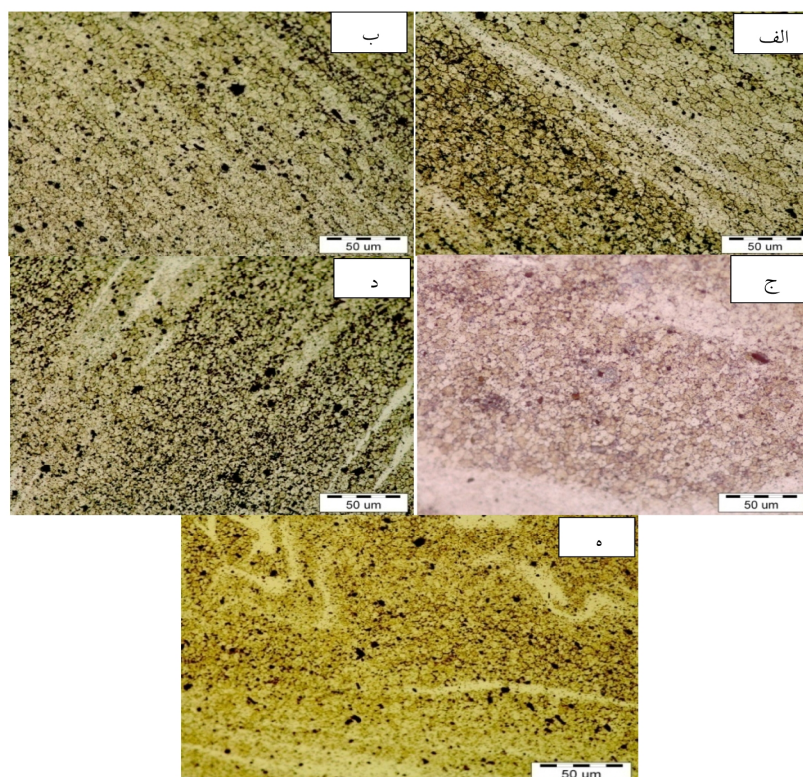
| نمونه | سرعت چرخشی ω (rpm) | سرعت پیشروی v (mm/min) | متوسط اندازه دانه‌ها در منطقه اغتشاش (μm) | نوع فاز | درصد حجمی فاز | متوسط اندازه فاز در منطقه اغتشاش (μm) |
|-------|------------------------------|-----------------------------|---|--|---------------------|---|
| ۱ | ۸۰۰ | ۳۰ | ۷/۴۱ | (Fe,Cr) ₃ SiAl ₁₂ , Cu ₂ FeAl ₇ | ۲/۵ | ۱/۶۳ |
| ۲ | ۱۰۰۰ | ۳۰ | ۷/۷۴ | (Fe,Cr) ₃ SiAl ₁₂ , Cu ₂ FeAl ₇ | ۲/۲ | ۱/۲۴ |
| ۳ | ۱۲۰۰ | ۳۰ | ۶/۸۰ | (Fe,Cr) ₃ SiAl ₁₂ , Cu ₂ FeAl ₇ | ۳/۶ | ۲/۷۳ |
| ۴ | ۸۰۰ | ۵۰ | ۵/۸۱ | (Fe,Cr) ₃ SiAl ₁₂ , Cu ₂ FeAl ₇ | ۲/۴ | ۱/۲۲ |
| ۵ | ۱۰۰۰ | ۵۰ | ۵/۹۵ | (Fe,Cr) ₃ SiAl ₁₂ , Cu ₂ FeAl ₇ | ۲/۹ | ۱/۴۳ |
| ۶ | ۱۲۰۰ | ۵۰ | ۶ | (Fe,Cr) ₃ SiAl ₁₂ , Cu ₂ FeAl ₇ | ۲/۷ | ۲/۴۵ |
| ۷ | ۸۰۰ | ۷۰ | ۵/۳۳ | (Fe,Cr) ₃ SiAl ₁₂ , Cu ₂ FeAl ₇ | ۲/۳ | ۲/۳۸ |
| ۸ | ۱۰۰۰ | ۷۰ | ۵/۹۴ | (Fe,Cr) ₃ SiAl ₁₂ , Cu ₂ FeAl ₇ | ۳/۳ | ۲/۲۸ |
| ۹ | ۱۲۰۰ | ۷۰ | ۴/۹۲ | (Fe,Cr) ₃ SiAl ₁₂ , Cu ₂ FeAl ₇ | ۲/۵ | ۱/۳۲ |
| ۱۰ | ۸۰۰ | ۹۰ | ۵/۷۴ | (Fe,Cr) ₃ SiAl ₁₂ , Cu ₂ FeAl ₇ | ۲/۹ | ۲/۳۴ |
| ۱۱ | ۱۰۰۰ | ۹۰ | ۵/۶۳ | (Fe,Cr) ₃ SiAl ₁₂ , Cu ₂ FeAl ₇ | ۳/۴ | ۲/۴۷ |
| ۱۲ | ۱۲۰۰ | ۹۰ | ۵/۴۸ | (Fe,Cr) ₃ SiAl ₁₂ , Cu ₂ FeAl ₇ | ۳/۱ | ۱/۲ |
| ۱۳ | ۸۰۰ | ۱۱۰ | ۵/۱۲ | (Fe,Cr) ₃ SiAl ₁₂ , Cu ₂ FeAl ₇ | ۲/۷ | ۱/۸ |
| ۱۴ | ۱۰۰۰ | ۱۱۰ | ۵/۶۴ | (Fe,Cr) ₃ SiAl ₁₂ , Cu ₂ FeAl ₇ | ۲/۸ | ۱/۹ |
| ۱۵ | ۱۲۰۰ | ۱۱۰ | ۵/۰۲ | (Fe,Cr) ₃ SiAl ₁₂ , Cu ₂ FeAl ₇ | ۲/۲ | ۱/۵ |



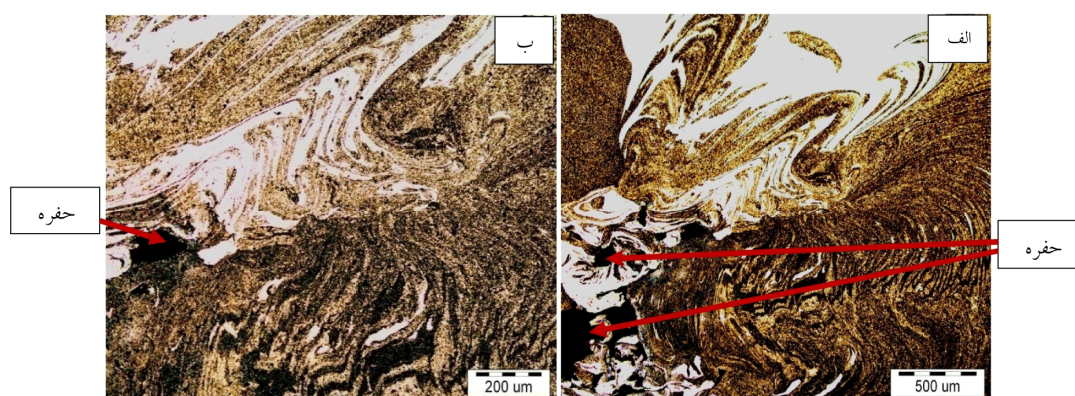
شکل ۶- تصاویر ناحیه اغتشاش نمونه ۸، الف) تصویر میکروسکوپ نوری مناطق لایه ای و ب) تصاویر میکروسکوپی الکترونی روبشی مناطق لایه ای.



شکل ۷- رابطه متوسط اندازه دانه در منطقه اغتشاش با سرعت پیشروی در سرعت‌های چرخشی ثابت.



شکل ۸- تصاویر میکروسکوپ نوری ناحیه اغتشاش در سرعت چرخشی ثابت ۱۰۰۰ rpm؛ الف) سرعت پیشروی ۳۰ mm/min، ب) سرعت پیشروی ۵۰ mm/min، ج) سرعت پیشروی ۷۰ mm/min، د) سرعت پیشروی ۹۰ mm/min، ه) سرعت پیشروی ۱۱۰ mm/min.

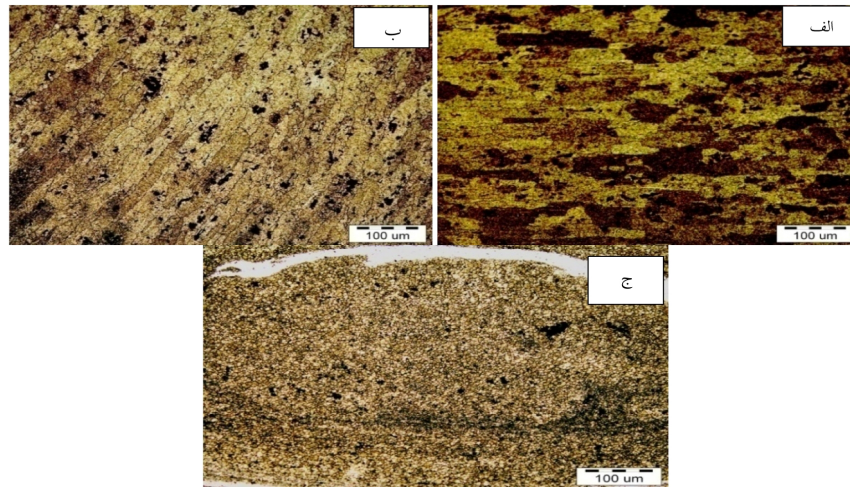


شکل ۹- تصاویر میکروسکوپ نوری از حفرات در ناحیه اغتشاش نمونه ۲.

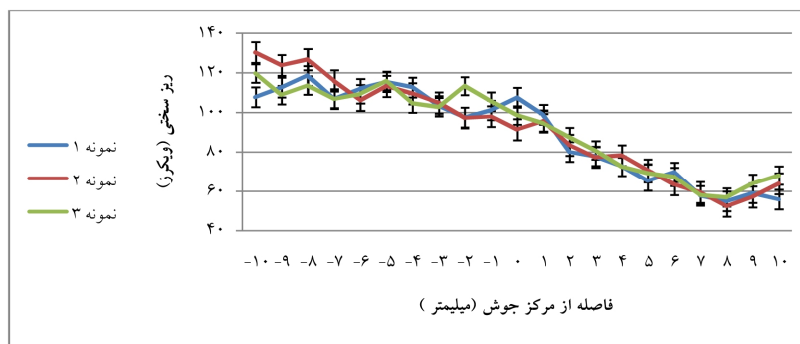
با عبور از سمت ناحیه اغتشاش به سمت فلز پایه، ناحیه‌ای به نام ناحیه متأثر از حرارت و کار مکانیکی (TMAZ)^۱ مشاهده می‌شود. ناحیه متأثر از حرارت و کار مکانیکی از دانه‌های تغییر شکل یافته تشکیل شده است. دانه‌ها در ناحیه متأثر از حرارت و کار مکانیکی دچار تغییر شکل و کشیدگی شده و نسبت وجوه در آن‌ها زیاد شده است.

که دلیل آن را می‌توان به عدم حرارت ورودی بهینه نسبت داد که موجب عدم اختلاط مناسب بین مواد در ناحیه اغتشاش بین دو فلز AA6061 و AA2024 شده است. زیرا بر اثر حرارت ورودی نامناسب، اختلاط مواد بصورت ناقص صورت می‌گیرد که دلیل آن عدم پلاستیسیته مناسب مواد است. بنابراین ترکیب بهینه‌ای از مقدار سرعت چرخشی و سرعت پیشروی به منظور تولید حرارت ورودی مناسب، لازم می‌باشد.

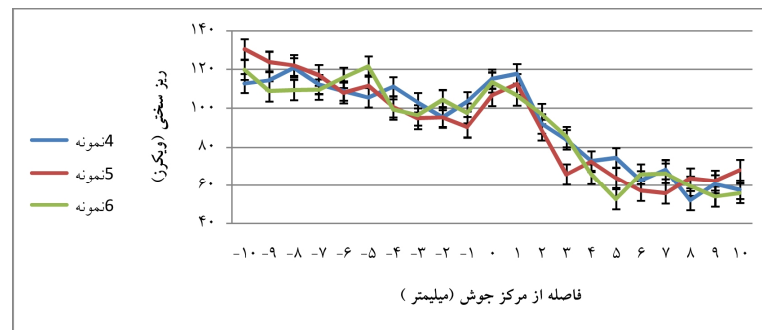
1 -Thermo mechanically affected zone



شکل ۱۰- تصاویر میکروسکوپی ناحیه جوش نمونه ۴، الف) ناحیه HAZ فلز ۲۰۲۴، ب) ناحیه TMAZ فلز ۲۰۲۴، ج) ناحیه اغتشاش.



شکل ۱۱- نمودار ریز سختی منطقه جوش در نمونه های ۱، ۲ و ۳.

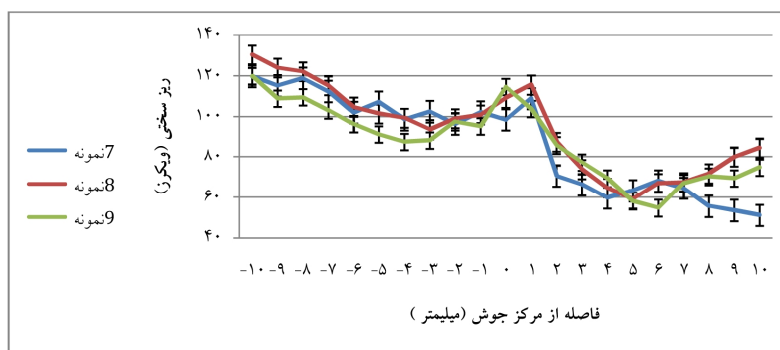


شکل ۱۲- نمودار ریز سختی منطقه جوش در نمونه های ۴، ۵ و ۶.

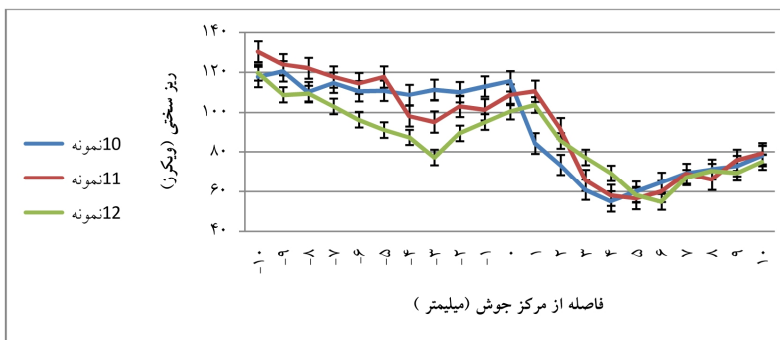
در ناحیه متأثر از حرارت (HAZ)^۱، تغییر قابل ملاحظه‌ای در اندازه دانه مشاهده می‌شود. بطوریکه دانه‌ها افزایش چشمگیری نسبت به ناحیه اغتشاش دارند، زیرا در این ناحیه بر خلاف ناحیه اغتشاش هیچ گونه عملیات کار مکانیکی رخ نمی‌دهد و تنها حرارت ناشی از چرخش ابزار در این ناحیه دخیل است. بنابراین دانه‌ها در این ناحیه رشد یافته که در

ناحیه متأثر از حرارت و کار مکانیکی در تحقیق حاضر محدوده باریکی را در تمامی نمونه‌ها به خود اختصاص داده است. در ناحیه متأثر از حرارت و کار مکانیکی، دانه‌ها بصورت کشیده شده به چشم می‌خورند. در این ناحیه مقدار تغییر شکل و همچنین دما کمتر از ناحیه اغتشاش می‌باشد، بنابراین مقدار کرنش به مقدار کرنش بحرانی لازم برای وقوع تبلور مجدد پویا نمی‌رسد [۱۳].

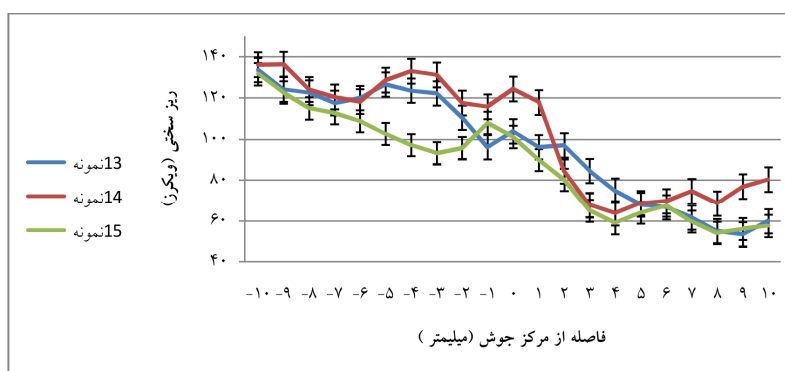
1 -Heat affected zone



شکل ۱۳- نمودار ریز سختی منطقه جوش در نمونه های ۷، ۸ و ۹.



شکل ۱۴- نمودار ریز سختی منطقه جوش در نمونه های ۱۰، ۱۱ و ۱۲.



شکل ۱۵- نمودار ریز سختی منطقه جوش در نمونه های ۱۳، ۱۴ و ۱۵.

طرف آغاز و به سمت ناحیه گذار و نواحی جوش ادامه پیدا می‌کند و به طرف مقابل می‌رسد. ریزسختی نمونه های جوشکاری شده در جدول (۷) ارائه شده است. بیشترین میزان سختی مربوط به نمونه ۱۴ با مقدار $111/05$ ویکرز و کمترین میزان سختی مربوط به نمونه ۳ با مقدار $92/6$ ویکرز است. در شکل های (۱۱) تا (۱۵) نمودار مقدار سختی بر حسب فاصله از مرکز جوش در نمونه های جوشکاری شده نشان داده شده است. همانطور که مشاهده می‌شود در تمامی نمونه ها میانگین سختی در ناحیه اغتشاش تفاوت چشمگیری با یکدیگر ندارند.

نتیجه می‌تواند موجب کاهش خواص مکانیکی در این ناحیه از جوش شود. همانطور که دیده می‌شود ناحیه متاثر از حرارت و کار مکانیکی بصورت دانه های کاملاً کشیده در در اطراف ناحیه اغتشاش بوجود آمده است [۱۴]. شکل (۱۰) تصاویر میکروسکوپ نوری نواحی مختلف جوش نمونه ۴ در سمت پیشرونده (آلومینیوم 2024) را نشان می‌دهد. در شکل تفاوت اندازه دانه ها در نواحی مختلف جوش مشخص است. اندازه گیری ریزسختی از سطوح مقطع جوش انجام شد، به طوری که ریز سختی سنجی از یک سمت فلز پایه یک

جدول ۷- نتایج ریز سختی سنجی نمونه‌ها.

| میانگین ریز سختی منطقه جوش (ویکرز) | سرعت پیشروی v (mm/min) | سرعت چرخشی ω (rpm) | نمونه | میانگین ریز سختی منطقه جوش (ویکرز) | سرعت پیشروی v (mm/min) | سرعت چرخشی ω (rpm) | نمونه |
|------------------------------------|--------------------------|---------------------------|-------|------------------------------------|--------------------------|---------------------------|-------|
| ۱۰۲/۴ | ۷۰ | ۱۲۰۰ | ۹ | ۱۰۲/۶۵ | ۳۰ | ۸۰۰ | ۱ |
| ۱۰۶ | ۹۰ | ۸۰۰ | ۱۰ | ۱۰۱/۹ | ۳۰ | ۱۰۰۰ | ۲ |
| ۱۰۱/۵ | ۹۰ | ۱۰۰۰ | ۱۱ | ۹۲/۶ | ۳۰ | ۱۲۰۰ | ۳ |
| ۱۰۷/۴۵ | ۹۰ | ۱۲۰۰ | ۱۲ | ۱۰۰/۹ | ۵۰ | ۸۰۰ | ۴ |
| ۱۰۷/۷ | ۱۱۰ | ۸۰۰ | ۱۳ | ۹۵/۲ | ۵۰ | ۱۰۰۰ | ۵ |
| ۱۱۱/۰۵ | ۱۱۰ | ۱۰۰۰ | ۱۴ | ۱۰۰/۱ | ۵۰ | ۱۲۰۰ | ۶ |
| ۱۰۸/۶ | ۱۱۰ | ۱۲۰۰ | ۱۵ | ۱۰۵/۰۵ | ۷۰ | ۸۰۰ | ۷ |
| | | | | ۱۰۲/۶۵ | ۷۰ | ۱۰۰۰ | ۸ |

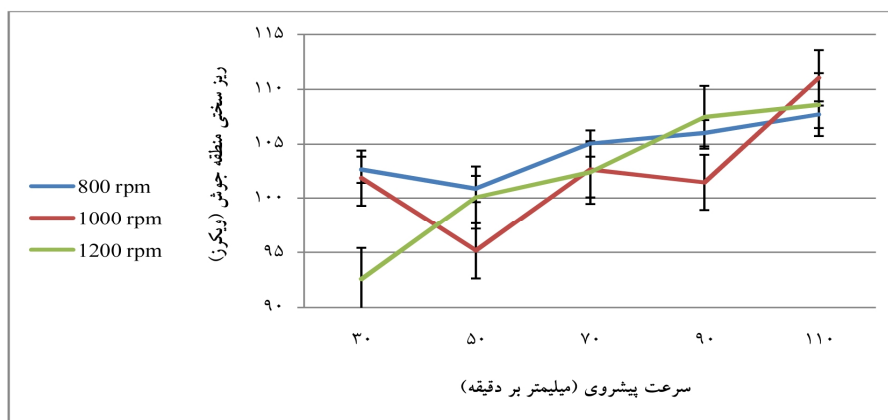
جدول ۸- نتایج آزمون کشش نمونه‌های جوشکاری شده به روش اصطکاکی اغتشاشی.

| محل شکست | درصد ازدیاد طول | استحکام کششی (N/mm ²) | نمونه |
|---------------------|-----------------|-----------------------------------|-------|
| ناحیه جوش (پسرونده) | ۳/۷۵ | ۱۹۶/۵ | ۱ |
| ناحیه جوش (پسرونده) | ۳/۴۹ | ۱۹۸/۸۸ | ۲ |
| ناحیه جوش (پسرونده) | ۳/۵۳ | ۲۰۶ | ۳ |
| ناحیه جوش (پسرونده) | ۳/۵۱ | ۲۰۲/۳ | ۴ |
| ناحیه جوش (پسرونده) | ۳/۵۹ | ۲۰۰/۱۳ | ۵ |
| ناحیه جوش (پسرونده) | ۳/۵۴ | ۲۰۶/۸۸ | ۶ |
| ناحیه جوش (پسرونده) | ۳/۵۳ | ۱۹۴/۳۸ | ۷ |
| ناحیه جوش (پسرونده) | ۲/۹۲ | ۲۱۵/۶۳ | ۸ |
| ناحیه جوش (پسرونده) | ۳/۲۹ | ۲۰۹/۱۳ | ۹ |
| ناحیه جوش (پسرونده) | ۳/۲۹ | ۲۰۹/۱۳ | ۱۰ |
| ناحیه جوش (پسرونده) | ۳/۳۹ | ۲۰۸/۳ | ۱۱ |
| ناحیه جوش (پسرونده) | ۳/۳۶ | ۲۰۷/۸۸ | ۱۲ |
| ناحیه جوش (پسرونده) | ۳/۱۵ | ۲۰۸ | ۱۳ |
| ناحیه جوش (پسرونده) | ۳/۰۱ | ۲۲۱/۶ | ۱۴ |
| ناحیه جوش (پسرونده) | ۳/۱۰ | ۲۲۰/۶۳ | ۱۵ |

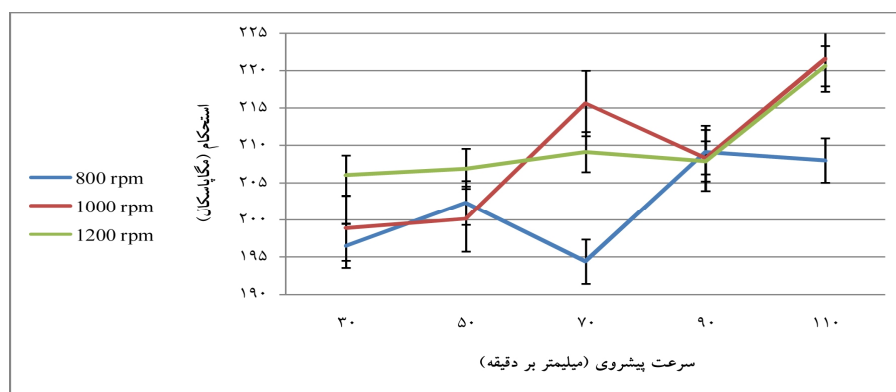
اغتشاش نسبت داد. از طرف دیگر نیز می‌توان اظهار داشت که با توجه به نمودارهای سختی، مقدار سختی در تمامی نمونه‌ها در کلیه مناطق جوش در سمت AA2024 نسبت به AA6061 دارای مقدار بیشتری است. دلیل آن می‌تواند بالاتر بودن مقدار سختی فلز پایه AA2024 باشد.

تأثیر پارامترهای جوشکاری بر روی سختی از تأثیر آن‌ها بر حرارت ورودی در حین جوشکاری ناشی می‌شود. با افزایش سرعت پیشروی، نسبت سرعت چرخشی به سرعت پیشروی کاهش و در نتیجه حرارت ورودی کاهش می‌یابد و این

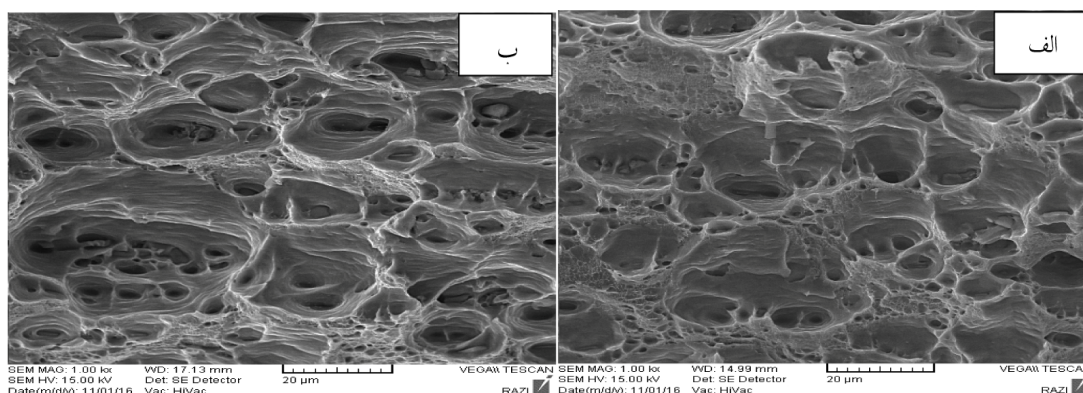
تفاوت میان آلیاژها باعث نوسان سختی در ناحیه اغتشاش و یک کاهش بزرگ هنگام عبور از منطقه متشکل از دو آلیاژ به سمت آلیاژ ۶۰۶۱ می‌شود. پراکندگی مقادیر سختی در ناحیه اغتشاش می‌تواند به دلیل ایجاد الگوهای حلقه پیازی باشد. افزایش سختی در منطقه اغتشاش به دلیل وقوع پدیده تبلور مجدد که منجر به کاهش اندازه دانه می‌شود. همچنین به وضوح مشخص است که به محض خارج شدن از ناحیه اغتشاش مقدار سختی کاهش قابل ملاحظه‌ای یافته است که علت آنرا می‌توان به عدم رخ دادن پدیده تبلور مجدد در خارج از ناحیه



شکل ۱۶- رابطه ریزسختی منطقه جوش با سرعت پیشروی در سرعت های چرخشی ثابت.



شکل ۱۷- رابطه استحکام با سرعت پیشروی در سرعت های چرخشی ثابت.



شکل ۱۸- تصاویر سطح شکست در نمونه های (الف)، (ب)، (۷)، (۱۴).

منظور مقایسه تأثیر متغیرها مورد بررسی قرار گرفت. در این آزمون تمامی نمونه‌ها از ناحیه جوش دچار شکست شدند. این بدین معنی است که مقدار استحکام جوش از دو فلز پایه کمتر است. ناحیه جوش بین دو آلیاژ AA2024 و AA6061 با نشان دادن حالت پلاستیک و گردنی شدن شکسته شد که این مطلب نشان از شکست حالت نرم دارد. در میان تمامی نمونه‌ها،

موجب کاهش اندازه دانه می شود و در نهایت مرزخانه‌ها افزایش و مقدار سختی بالا می رود [۶]. شکل (۱۶) افزایش سختی با افزایش سرعت پیشروی در سرعت های چرخشی ثابت را نشان می‌دهد.

پس از بررسی و مطالعه ریز ساختار جوش و سختی مربوط به نمونه ها، استحکام اتصالات ایجاد شده در شرایط مختلف به

دستیابی به یک جوش سالم و ایجاد ترکیبی از خواص دو آلیاژ AA2024 و AA6061 در جوشکاری با این روش وجود دارد. -کوچکترین اندازه دانه مربوط به نمونه ۹ با سرعت چرخشی ۱۲۰۰ دور بر دقیقه و سرعت پیشروی ۷۰ میلیمتر بر دقیقه با متوسط اندازه دانه ۴/۹۲ میکرومتر در ناحیه اغتشاش بود. - با افزایش سرعت پیشروی از ۳۰ تا ۱۱۰ میلیمتر بر دقیقه در سرعت های چرخشی ثابت ۸۰۰، ۱۰۰۰ و ۱۲۰۰ دور بر دقیقه به علت کاهش حرارت ورودی، اندازه دانه‌ها کاهش یافت.

- اندازه و کسر حجمی رسوبات $(Fe,Cr)_3SiAl_{12}$ و Cu_2FeAl_7 با تغییر سرعت چرخشی و سرعت پیشروی تغییر نمود. - بیشترین میزان سختی مربوط به نمونه ۱۴ به مقدار ۱۱۱/۰۵ ویکرز در سرعت چرخشی ۱۰۰۰ دور در دقیقه و سرعت پیشروی ۱۱۰ میلیمتر بر دقیقه بود. - تفاوت میان آلیاژها باعث نوسان سختی در ناحیه اغتشاش و یک کاهش بزرگ هنگام عبور از منطقه متشکل از دو آلیاژ به سمت آلیاژ ۶۰۶۱ شد. - بیشترین میزان استحکام کششی مربوط به نمونه ۱۴ به مقدار ۲۲۱/۶ مگاپاسکال در سرعت چرخشی ۱۰۰۰ دور در دقیقه و سرعت پیشروی ۱۱۰ میلیمتر بر دقیقه بود.

منابع

- 1-Heinz.A, Haszler.A, Keidel.C, Moldenhauer.S, Benedictus.R, Miller.W.S, 2000,"Recent Development in Aluminium Alloys for Aerospace Applications", Materials Science and Engineering A, Vol. 280, PP 102-107.
- 2-MishraaR.S., Z.Y. Ma, 2005,"Friction Stir Welding and Processing", Materials Science and Engineering R Vol. 50, pp 1-78.
- 3- Amancio-Filho.S.T, Sheikhi.S, dos Santos.J.F, Bolfarini.C, 2008,"Preliminary Study on the Microstructure and Mechanical Properties of Dissimilar Friction Stir Welds in Aircraft Aluminium Alloys 2024-T351 and 6056-T4", Journal of Materials Processing Technology Vol.206, PP 132-142.
- 4- Cavaliere.P, De Santis.A, Panella.F, Squillace.A, 2009,"Effect of Welding Parameters on Mechanical and Microstructural Properties of Dissimilar AA6082-AA2024 Joints produced by Friction Stir Welding", Materials and Design Vol.30, PP 609-616.

نمونه ۷ با مقدار ۱۹۴/۳۸ مگاپاسکال دارای کمترین و نمونه ۱۴ با مقدار ۲۲۱/۶ مگا پاسکال دارای بیشترین میزان استحکام کششی هستند. دلیل این تفاوت آن می‌تواند وجود حفره در نمونه ۷ و از طرفی دیگر کوچکتر بودن اندازه دانه در نمونه ۱۴ نسبت به نمونه‌های دیگر باشد. همان‌طور که در شکل (۱۷) مشاهده می‌شود با افزایش سرعت پیشروی در سرعت چرخشی ثابت استحکام کششی افزایش یافته است که می‌توان دلیل آنرا به کوچکتر شدن اندازه دانه در منطقه اغتشاش نسبت داد زیرا با افزایش سرعت پیشروی، نسبت سرعت چرخشی به سرعت پیشروی کاهش و در نتیجه حرارت ورودی کاهش می‌یابد که نهایتاً موجب کوچکتر شدن اندازه دانه می‌گردد. ریز شدن دانه‌ها باعث افزایش مرزدانه‌ها و ممانعت بیشتر در مقابل حرکت نابجایی‌ها و در نتیجه سبب افزایش استحکام کششی نمونه‌ها می‌شود. می‌توان اینگونه استنباط نمود که، اندازه دانه در منطقه اغتشاش تعیین کننده مقدار استحکام کششی است، بدین صورت که هرچه اندازه دانه‌ها ریزتر، استحکام کششی بیشتر می‌گردد. جدول (۸) نتایج آزمون کشش نمونه‌ها را نشان می‌دهد.

برای بررسی بهتر چگونگی شکست نمونه‌ها از ناحیه جوش، سطح شکست نمونه‌های ۷ و ۱۴ که به ترتیب دارای پایین‌ترین و بالاترین مقدار استحکام کششی بودند مورد مطالعه قرار گرفت. تصاویری از سطح شکست در شکل (۱۸)، آورده شده است. همان‌طور که مشاهده می‌شود سطح شکست نمونه‌ها دارای دیمپل‌های عمیق و زیادی هست که از مشخصه‌های بارز شکست نرم است. همچنین این مورد نشان دهنده تغییر شکل زیادی در حین آزمون کشش می‌باشد.

4- نتیجه گیری

در تحقیق حاضر امکان سنجی اتصال آلومینیوم ۲۰۲۴ به آلومینیوم ۶۰۶۱ به روش جوشکاری اصطکاکی اغتشاشی و ایجاد اتصالی بدون عیب مورد بررسی قرار گرفت و نتایج زیر حاصل شد:

-با کنترل متغیرهای جوشکاری اصطکاکی اغتشاشی، امکان

of Dissimilar AA2024 and AA7075 aluminum alloys. *Mater Sci Eng B* 2008;148(1-3):82-7.

11- J.F. Guo, H.C. Chen, C.N. Sun, G. Bi, Z. Sun, J. Wei, 2014, "Friction Stir Welding of Dissimilar Materials Between AA6061 and AA7075 Al alloys Effects of Process Parameters", *Materials and Design* Vol.56, PP 185-192.

12- Mahoney MW, Rhodes CG, Flintoff JG, Spurling RA, Bingel WH. Properties of Friction-Ftir-Welded 7075-T651 Aluminum. *Metall Mater Trans A* 1998;29A:1955-64.

13- Humphreys F.J., Hotherly.M, 1995, "Recrystallization and Related Annealing Phenomena", Pergamon, press New York.

14- Aydin H, Bayram A, Uguz A. Tensile Properties of Friction Stir Welded Joints of 2024 Aluminium Alloy in Different Heat Treated State. *Mater Des*2009;30:211-221.

5- Attallaha.M.M, Salemb.H.G, 2005, "Friction Stir Welding Parameters: a Tool for Controlling Abnormal Grain Growth During Subsequent Heat Treatment", *Materials Science and Engineering A*, Vol. 391, PP 51-59.

6- Li.Y, Murr. L.E, McClure. J.C, 1999" Flow Visualization and Residual Microstructures Associated With the Friction-Stir Welding of 2024 Aluminum to 6061 Aluminum", *Materials Science and Engineering A*, Vol. 271, PP 213-223.

7- Standard Test Method for Analysis of Aluminum and Aluminum Alloys by Spark Atomic Emission Spectrometry, ASTM E1251-11.

8- Standard Test Method for Microindentation Hardness of Materials, ASTM E384-16.

9- Standard Test Methods for Tension Testing of Metallic Materials, ASTM-E8M.

10- Khodir SA, Shibayanagi T. Friction Stir Welding